

# МЕХАНИЗМ ДИСПЕРГИРОВАНИЯ ПАРАФИНОПОДОБНОГО ТОПЛИВА ПРИ ЕГО СЖИГАНИИ

Л.А. Булавин<sup>(1)</sup>, О.Ю. Актан<sup>(1)</sup>, В.Я. Черняк<sup>(2)</sup>, С.Г. Орловская<sup>(3)</sup>,  
О.С. Свечникова<sup>(1)</sup>, С.А. Пословский<sup>(1)</sup>, Н.Л. Шейко<sup>(1)</sup>

<sup>(1)</sup>Киевский национальный университет имени Тараса Шевченко  
физический факультет, [актанл@yahoo.com](mailto:aktanl@yahoo.com)

<sup>(2)</sup>Киевский национальный университет имени Тараса Шевченко,  
радиофизический факультет

<sup>(3)</sup>Одесский национальный университет имени И.И.Мечникова,  
физический факультет,

Твердые парафины используются в настоящее время в качестве экологического топлива для гибридных ракет [1]. Испытание ракетных двигателей показали эффективность топлива, содержащие длинноцепочечные парафины с количеством атомов углерода, равным 33.

В данном сообщении исследуются причины, обеспечивающие более эффективное горение длинноцепочечных парафинов по сравнению с короткоцепочечными.

Исследовались два типа парафинов с различным количеством атомов углерода  $C_{22}H_{46}$  и  $C_{18}H_{38}$ . Измерялся модуль сдвига указанных парафинов по методике, запатентованной авторами [2]. Исследовалась временная зависимость модуля сдвига при температурах, превышающих температуру плавления.

Результаты приведены на рис.1, и рис.2. Параллельно с измерением модуля сдвига проводилось визуальное наблюдение за процессом плавления.

В результате этих наблюдений было установлено, что образец  $C_{18}H_{38}$  полностью расплывается через 14 минут, а образец  $C_{22}H_{46}$  - через 28 минут. Как видно из рис.1 и рис.2 модуль сдвига расплавленного  $C_{18}H_{38}$  в пределах точности эксперимента равен нулю. Модуль же расплавленного  $C_{22}H_{46}$  существенно отличается от нуля.

Процесс сжигания парафиноподобного топлива условно можно разделить на три этапа – плавление, диспергирование (распыление) и горение. Благодаря различию модулей сдвига расплавленных  $C_{18}H_{38}$  и  $C_{22}H_{46}$ , различными оказываются механизмы диспергирования. Для первого этот механизм связан с образованием капиллярных волн, а для второго – с потерей устойчивости расплавленного слоя. Последний механизм носит взрывной характер, что и определяет эффективность горения длинноце-

почечных парафинов.

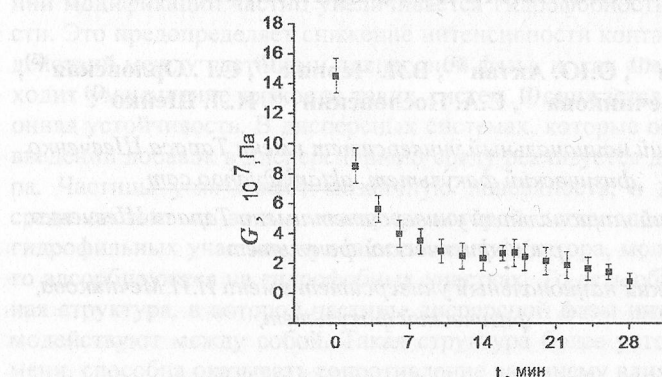


Рис.1. Временная зависимость модуля сдвига  $C_{22}H_{46}$  (докозан) при температуре 321К.

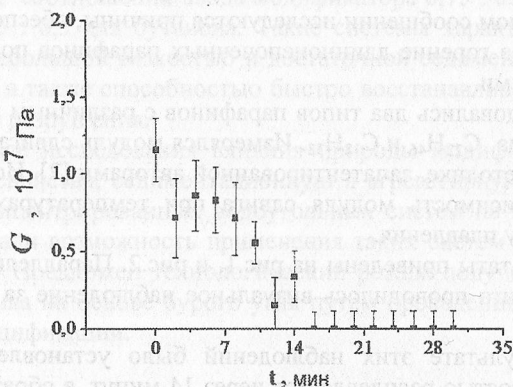


Рис.2. Временная зависимость модуля сдвига  $C_{18}H_{38}$  (октодекан) при температуре 306К.

#### Литература:

1. David R.Greatrix. Regression rate estimation for standard-flow hybrid rockets engines // *Aerospace Science and Technology*. – 2009. – Volume 13, Issue 7. – P. 358 – 363.
2. Пат. 78094 Україна, МПК 7 G01N11/16 / Булавін Л.А., Актан О.Ю., Забашта Ю.Ф., Ніколаєнко Т.Ю. – Опубл.15.02.2007, Бюл.№2.